

鼻部不典型纤维血管瘤诊疗分析

Diagnosis and treatment of atypical angiomyxomas of nose

王凌芳¹ 李克鹏² 金红军² 金书丞³ 桑建中¹

[关键词] 纤维血管瘤; 鼻咽肿瘤; 外科手术

Key words angiomyxoma; nasopharyngeal neoplasm; surgical procedures, operative

doi: 10.13201/j.issn.1001-1781.2018.03.017

[中图分类号] R739.63 [文献标志码] B

纤维血管瘤占头颈部肿瘤的0.5%~1.0%，典型的纤维血管瘤多见于鼻咽部。原发于鼻咽外纤维血管瘤较少见，与鼻咽部纤维血管瘤相比，发病多为中老年患者，且部分为女性患者。Celik等首次提出不典型纤维血管瘤(atypical angiomyxomas)的诊断标准，满足以下任何一条即可：①起源于鼻咽部以外；②女性患者；③症状非鼻塞或鼻出血；④年龄不在7~25岁之间；⑤不典型的病理表现和多发病灶。根据上述标准，从我科2010-07—2017-07收治的27例鼻部纤维血管瘤患者中筛选出8例，报告如下。

1 资料与方法

1.1 临床资料

8例患者中，男7例，女1例；年龄24~48岁，中位年龄34岁。主诉包括鼻塞及鼻出血等。肿瘤均发生于鼻部，8例不典型纤维血管瘤患者中，有1例女性，1例位于下鼻甲，1例位于鼻底，其余5例的年龄均>25岁。8例患者最终经病理及免疫组织化学确诊。

1.2 方法

5例患者(年龄均>25岁)临床表现及术前检查均同鼻咽部纤维血管瘤，术前于介入科行局部麻醉下纤维血管瘤栓塞后，全身麻醉行鼻内镜下纤维血管瘤切除术。其他3例因术前检查影像学资料不典型，并未初诊为纤维血管瘤，直接行全身麻醉下鼻腔肿物切除术。

2 结果

8例均手术切除，术后定期复查，随访2~3年，未见复发，均一次手术治愈。

3 典型病例报道

例1 女，25岁。4d前无明显诱因出现左侧鼻出血，偶有头痛、脓涕，3d前在当地医院给予左侧鼻腔填塞，填塞后仍有渗血。以急诊“鼻出血”于2017年6月21日转入我院，行鼻窦MRI(平扫+增强)示：左侧鼻腔及鼻咽部占位，考虑为血管瘤

(图1a~b)。完善相关检查后，全身麻醉行鼻内镜下左侧鼻腔鼻窦肿物切除术。手术记录如下：收缩鼻腔后，内镜下见左侧鼻咽部似鹌鹑蛋大小肿物，前端连接于下鼻甲后端，侧壁附着于鼻腔外侧壁。用低温器械切断两连接点后再进行止血处理，顺势开放左侧上颌窦，清理窦腔内积血。完整取出鼻咽部肿物(从口腔)。术后病理结果示：纤维血管瘤。术后复查鼻内镜(图1c~d)。

例2 男，42岁。6个月前无明显诱因出现双侧鼻塞，鼻塞呈间断性和交替性，伴头痛、脓涕。于2013年8月8日入院。鼻窦CT平扫示：双侧筛窦及上颌窦炎，双侧下鼻甲肥大，考虑右侧鼻息肉可能(图2a~b)。完善相关检查后，全身麻醉下行鼻内镜下右侧鼻腔肿物摘除术。术中内镜下见右侧鼻底有一明显质脆、菜花状、易出血新生物，予以摘除。术后病理结果示：纤维血管瘤伴较多淋巴细胞、浆细胞浸润(图2c)。

例3 男，48岁。2个月前无意间发现右侧鼻腔新生物，出现鼻塞，呈间断性、交替性，伴头痛、脓涕。鼻窦CT示：右侧鼻腔占位(图3)。于2015年9月16日入院。完善相关检查后，行全身麻醉下右侧鼻腔肿物切除术，术中内镜下见右侧鼻前庭新生物，表面尚光滑，根蒂位于鼻前庭底壁，黏膜刀片自根部完整切除后并送病理检查。术后病理结果示纤维血管瘤。

例4 男，26岁。2个月前患者无明显诱因出现左侧鼻塞，呈间断性，伴左侧鼻出血。鼻窦MRI平扫+增强示：左侧鼻咽部富血供占位，考虑纤维血管瘤(图4a~c)。于2016年7月4日入院。完善相关检查后，局部麻醉下行鼻咽部纤维血管瘤栓塞术，次日于全身麻醉行鼻内镜下左侧鼻咽部纤维血管瘤切除术。手术记录：经鼻内镜下部分切除左侧中鼻甲下端，切除左侧钩突，开放并向后扩大上颌窦口，高速磨钻磨除腭骨垂直板及上颌窦后外侧壁骨质，显露翼腭窝，见肿物占据翼腭窝，将肿物组织于翼腭窝内脂肪组织游离并离断上颌动脉，充分止血，沿肿物边缘将肿物组织与鼻腔黏膜分离，肿物向上侵犯蝶窦下壁，开放左侧蝶窦，见肿物呈膨胀性生长，蝶窦下壁骨质吸收，将肿物组织完全游

¹郑州大学第一附属医院咽喉头颈外科(郑州,450052)

²郑州大学第一附属医院鼻科

³兰州大学第二临床医学院

通信作者：桑建中，E-mail：sangjianzhong@sina.com

离后向下经鼻咽推至口咽, 经口腔取出, 左侧鼻腔填塞碘仿纱条, 术毕。术后鼻窦 MRI 增强示: 鼻咽部纤维血管瘤(图 4d~e)。术后病理结果示: 纤维血管瘤(图 4f)。

4 讨论

典型的纤维血管瘤多见于 7~25 岁的男性, 肿瘤起源于鼻咽侧壁, 并向鼻腔、鼻窦侵犯。其临床典型症状为鼻出血和鼻塞。然而, 鼻部部分纤维血管瘤并不呈现典型的鼻咽部纤维血管瘤特征, 这些缺乏典型病史特征的纤维血管瘤称之为“不典型纤维血管瘤”。Celik 等^[1]首次提出不典型纤维血管瘤的概念, 并呈现 4 例典型病例。汪审清等(2015)将这一概念引进, 并附 1 例下鼻甲起源的不典型纤维血管瘤病例, 病例与本文中的例 2 类似。

在性别上, 本组有 1 例女性患者术中见瘤体与下鼻甲相接, 突向鼻咽部。国外文献搜索截止 2003 年共有 17 例女性鼻咽外纤维血管瘤(其他文献统计 14 例, 文章中 3 例)^[2]。本例女性患者, 术前鼻窦 CT 为外院所拍, 且经过多次出血行鼻腔填塞。入院后鼻窦 MRI 示鼻腔及鼻咽部新生物, 因鼻出血急诊行鼻腔探查并完整取出肿物。相对来说, 该手术操作较简单, 仅离断下鼻甲和鼻腔侧壁与肿物连接点, 即将肿物从口腔取出, 术中见肿物突向鼻咽部, 但与鼻咽部并未有粘连。

在位置上, 本文 8 例患者中有 2 例患者属于鼻咽外纤维血管瘤^[3], 其中 1 例位于下鼻甲, 1 例位于鼻底。该 2 例在治疗上并无特殊性, 且术中并不能完全确诊为纤维血管瘤, 均经术后病理确诊。国内外下鼻甲起源纤维血管瘤有较多个案报道^[4~7], 其他起源于筛窦、上颌窦、中鼻甲部也有报道。

在年龄上, 本组单凭年龄诊断为不典型纤维血管瘤者有 5 例, 其临床特征与鼻咽部纤维血管瘤并无明显差异, 具体见典型病例 4。此病例在诊断上需要注意的是: 询问病史时, 部分年长者在年轻时有轻微鼻塞症状, 但未加以重视, 即入院年龄与出现症状的年龄并不相符, 所以不典型纤维血管瘤诊断标准中年龄问题可能需要修正。国内有很多大数据病例总结^[8~11], 赵玉林等^[12]报道 1989—1999 年中有 43 例鼻咽部纤维血管瘤, 经过近 20 年的技术发展, 对于该病的诊疗与以前有很大差别。术前检查中, 除 CT 外, 对大部分患者应用鼻窦 MRI 检查, 且鼻咽部纤维血管瘤 CT 平扫以等或稍低密度为主, MRI 以等或稍长 T1、等或稍长 T2 信号为主; 增强扫描瘤体多表现为显著均匀强化。MRI 显示瘤体内可见点状血管流空信号影, 形成典型的“椒盐征”, 且 MRI 诊断价值优于 CT^[13~14]。另外, 术前为了避免大出血, 大部分患者术前于介入科行鼻咽部纤维血管瘤栓塞术, 与颈外动脉结扎相比, 该措施创伤小, 更有助于减少术中出血, 提高手术的全切率和安全性^[15~16]。在手术方式上, 近些年由于鼻内镜技术的突飞猛进, 大多数患者均行鼻内镜下纤维血管瘤清除术。有学者对鼻咽部纤维血

管瘤手术方式及优势有详细阐述^[17]。

综上所述, 不典型纤维血管瘤区分主要依靠性别、位置、年龄等, CT 及 MRI 有助于该病的诊断, 但最终确诊需要依靠病理及免疫组织化学检查。在治疗上, 手术切除是其首选治疗方式, 术后较少复发。

参考文献

- [1] CELIK B, ERISEN L, SARAYDAROGLU O, et al. Atypical angiomas: a report of four cases[J]. Int J Pediatr Otorhinolaryngol, 2005, 69: 415—421.
- [2] HUANG R Y, DAMROSE E J, BLACKWELL K E, et al. Extranasopharyngeal angioma[J]. Int J Pediatr Otorhinolaryngol, 2000, 56: 59—64.
- [3] WINDFUHR J P, VENT J. Extranasopharyngeal angioma revisited[J]. Clin Otolaryngol, 2018, 43: 199—222.
- [4] MUTLU V. Angiofibroma from the tail of the inferior turbinate[J]. Eurasian J Med, 2015, 47: 66—68.
- [5] NAZAR R, NASER A. Extranasopharyngeal angioma of the left lower turbinate: A case report[J]. Acta Otorrinolaringol Esp, 2015, 66: 56—58.
- [6] SINGH G B, AGARWAL S, ARORA R, et al. A Rare Case of Angiofibroma Arising from Inferior Turbinate in a Female[J]. J Clin Diagn Res, 2016, 10: MD07—8.
- [7] SALIMOV A, OZER S. A rare location of angioma in the inferior turbinate in young woman[J]. Int Arch Otorhinolaryngol, 2015, 19: 187—190.
- [8] 罗建海, 廖福干, 廖志鹏, 等. 鼻内镜射频热凝后手术切除鼻咽纤维血管瘤[J]. 临床耳鼻咽喉头颈外科杂志, 2010, 24(22): 1048—1049.
- [9] 蔡萼, 周兵, 黄谦, 等. 鼻内镜下鼻咽纤维血管瘤切除术预后因素分析[J]. 临床耳鼻咽喉头颈外科杂志, 2010, 24(22): 1035—1039.
- [10] 黄阳, 张林, 田兴华, 等. 鼻咽纤维血管瘤 22 例手术分析[J]. 临床耳鼻咽喉科杂志, 2006, 20(5): 224—226.
- [11] 郭星, 闫艾慧, 惠莲. 鼻咽纤维血管瘤的临床诊治经验[J]. 临床耳鼻咽喉头颈外科杂志, 2007, 21(24): 1147—1149.
- [12] 赵玉林, 娄卫华, 吕明栓. 鼻咽纤维血管瘤 43 例临床分析[J]. 临床耳鼻咽喉头颈外科杂志, 2007, 21(11): 518—519.
- [13] 曹慧芳, 胡姣, 魏娜, 等. 鼻咽部纤维血管瘤的 CT 和 MRI 诊断[J]. 中国 CT 和 MRI 杂志, 2012, 10(3): 30—32.
- [14] 陈桂美, 李先玉. 鼻咽部纤维血管瘤的影像学诊断[J]. 实用癌症杂志, 2015, 30(12): 1924—1926, 1930.
- [15] 金春贤, 黄文鑫. 鼻咽部纤维血管瘤血管造影及术前超选择栓塞治疗[J]. 实用放射学杂志, 2007, 23(7): 953—956.
- [16] 刘庆, 何晓峰, 王江云, 等. 青少年鼻咽部纤维血管瘤的影像诊断及介入治疗[J]. 西部医学, 2011, 23(12): 2396—2398.
- [17] 杨国宁, 寸丽花, 马亚, 等. 经鼻内镜手术切除鼻咽纤维血管瘤的适应证[J]. 临床耳鼻咽喉头颈外科杂志, 2011, 25(9): 424—425.

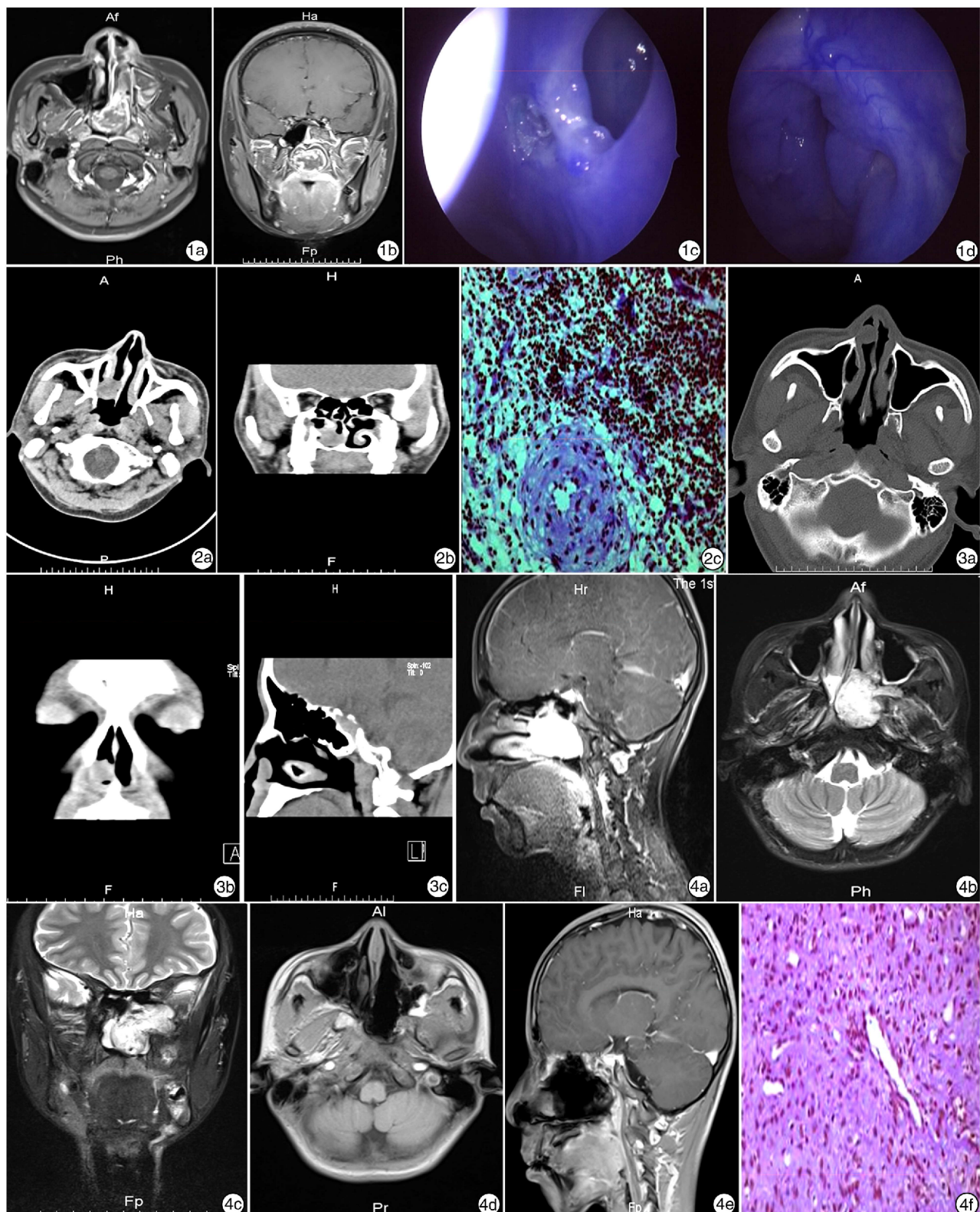


图 1 例 1 患者临床资料 1a~b: 鼻窦 MRI(平扫+增强)示左侧鼻腔; 鼻咽腔呈明显不均匀强化, 病变大小约 $76 \text{ mm} \times 29 \text{ mm}$ (前后径 \times 左右径); 1c~d: 鼻内镜复查, 左侧鼻腔通畅, 鼻咽部无异常, 左侧鼻腔外侧壁见电凝创面; **图 2 例 2 患者临床资料** 2a~b: 鼻窦 CT(轴位+冠位)示双侧上颌窦黏膜增厚, 右侧下甲后份可见软组织结节影, 鼻中隔左偏; 2c: 术后病理结果示纤维血管瘤伴较多淋巴细胞、浆细胞浸润; **图 3 鼻窦 CT 检查** 示右侧鼻前庭可见窄基底相连乳突状软组织影突向鼻腔, 边界清晰, 密度均匀; 3a: 轴状位; 3b: 冠状位; 3c: 矢状位; **图 4 鼻窦 MRI 平扫+增强** 4a~c: 左侧鼻腔后部及鼻咽部可见团块状等 T1 长 T2 压脂高信号, 病变向上延至蝶窦, 向左至翼腭窝, 向后至咽隐窝; 增强示左侧鼻腔后份可见明显均匀强化, 范围约 $40 \text{ mm} \times 38 \text{ mm} \times 44 \text{ mm}$ (前后径 \times 左右径 \times 上下径); 4d~e: 术后鼻窦增强 MRI 示鼻咽纤维血管瘤; 4f: 术后病理结果示纤维血管瘤, 肿瘤由大小不一的血管构成, 间质富有纤维母细胞。

(收稿日期:2017-09-29)